Оригинальная статья / Original article

https://doi.org/10.21869/2223-1536-2025-15-3-201-215



УДК 004.451

TB-SEIRZ-Q: моделирование эпидемиологии туберкулеза в России с множественной лекарственной устойчивостью и карантином

О. В. Корчевская 1 ⊠

Резюме

Цель исследования – разработка и системный анализ комплексной математической модели эпидемиологии туберкулеза в России, учитывающей множественную лекарственную устойчивость (МЛУ-ТБ) и карантинные меры, для формализации динамики инфекции и информационной поддержки управленческих решений.

Методы. Использована методология системного анализа. Разработана детерминированная математическая модель (TB-SEIRZ-Q), описываемая системой нелинейных обыкновенных дифференциальных уравнений. Модель расширяет классические подходы за счет введения латентной стадии, стратификации инфицированных по чувствительности к лечению и бактериовыделению, а также раздельных карантинных групп. Проведен анализ устойчивости модели, вычислено базовое репродуктивное число ($R_{\it o}$) методом следующего поколения. Параметры идентифицированы на основе официальных данных по России. Выполнены численное моделирование динамики эпидемии и анализ чувствительности ключевых параметров.

Результаты. Получена модель TB-SEIRZ-Q, адекватно описывающая специфику ТБ. Расчетное базовое репродуктивное число $R_0 \approx 2,258$, что указывает на неустойчивость состояния без болезни и переход системы к эндемическому равновесию. Результаты численного моделирования демонстрируют высокое соответствие реальным данным заболеваемости ТБ в России за 2018—2023 гг. ($R^2 = 0,92$). Анализ чувствительности выявил ключевую роль скоростей передачи инфекции и изоляции в величине R_0 . Увеличение эффективности изоляции до R_0 0,5 снижает R_0 0 ниже R_0 1 (до R_0 0,95), обеспечивая возможность ликвидации эпидемии. Заключение. Разработанная модель R_0 1 ниже R_0 2 на враяние возможность ликвидации эпидемии. Заключение R_0 3 на обеспечивает формализацию динамики инфекции с учетом МЛУ-ТБ и карантинных мер, а также информационную основу для оценки и оптимизации стратегий управления эпидемией. Модель позволяет прогнозировать развитие ситуации и количественно оценивать влияние различных вмешательств, таких как усиление карантинных мер.

Ключевые слова: математическое моделирование; системный анализ; управление эпидемиологическими системами; обработка информации; динамика популяции, эпидемиология; туберкулез; лекарственная устойчивость; карантин; модель SEIRZ-Q.

Конфликт интересов: Авторы декларируют отсутствие конфликта интересов, связанных с публикацией данной статьи.

¹ Сибирский государственный университет науки и технологий имени академика М. Ф. Решетнева пр-т им. газ. «Красноярский рабочий», д. 31, г. Красноярск 660037, Российская Федерация

[™] e-mail: okfait@gmail.com

[©] Корчевская О. В., 2025

Для цитирования: Корчевская О. В. ТВ-SEIRZ-Q: моделирование эпидемиологии туберкулеза в России с множественной лекарственной устойчивостью и карантином // Известия Юго-Западного государственного университета. Серия: Управление, вычислительная техника, информатика. Медицинское приборостроение. 2025. Т. 15, № 3. С. 201–215. https://doi.org/10.21869/2223-1536-2025-15-3-201-215

Поступила в редакцию 11.07.2025

Подписана в печать 09.08.2025

Опубликована 30.09.2025

TB-SEIRZ-Q: Modeling the epidemiology tuberculosis in Russia with multidrug resistance and quarantine

Oksana V. Korchevskaya¹ ⊠

- ¹ Reshetnev Siberian State University of Science and Technology 31 Krasnoyarsky Rabochy Ave., Krasnoyarsk 660037, Russian Federation
- [™] e-mail: okfait@gmail.com

Abstract

The purpose of the research is to develop and systemically analyze a comprehensive mathematical model of tuberculosis epidemiology in Russia, taking into account multidrug resistance (MDR-TB) and quarantine measures, to formalize the dynamics of infection and provide information support for management decisions.

Methods. The methodology of systems analysis was used. A deterministic mathematical model (TB-SEIRZ-Q) described by a system of nonlinear ordinary differential equations was developed. The model expands classical approaches by introducing a latent stage, stratification of infected people by sensitivity to treatment and bacterial excretion, as well as separate quarantine groups. An analysis of the stability of the model was carried out, the basic reproductive number (R_0) was calculated using the next-generation method. The parameters were identified based on official data for Russia. Numerical modeling of the epidemic dynamics and sensitivity analysis of key parameters were performed.

Results. The TB-SEIRZ-Q model was obtained that adequately describes the specifics of TB. The estimated basic reproduction number $R_0 \approx 2,258$, indicating instability of the disease-free state and the transition of the system to endemic equilibrium. The results of numerical modeling demonstrate high correspondence to the real data on TB incidence in Russia for 2018-2023 ($R^2 = 0,92$). Sensitivity analysis revealed the key role of infection transmission and isolation rates in the R_0 value. Increasing the isolation efficiency to 0,5 reduces R_0 below 1 (to 0,95), providing the possibility of eliminating the epidemic.

Conclusion. The developed TB-SEIRZ-Q model is an effective tool for systemic analysis of the tuberculosis epidemic in Russia. It formalizes the infection dynamics taking into account MDR-TB and quarantine measures, as well as an information basis for assessing and optimizing epidemic management strategies. The model allows predicting the development of the situation and quantifying the impact of various interventions, such as strengthening quarantine measures.

Keywords: mathematical modeling; systems analysis; epidemiological systems management; information processing; population dynamics; epidemiology; tuberculosis; drug resistance; quarantine; SEIRZ-Q model.

Conflict of interest: The authors declares no conflict of interest related to the publication of this article.

For citation: Korchevskaya O.V. TB-SEIRZ-Q: Modeling the epidemiology tuberculosis in Russia with multidrug resistance and quarantine. *Izvestiya Yugo-Zapadnogo gosudarstvennogo universiteta. Serija: Upravlenie, vychislitel'naja tekhnika, informatika. Meditsinskoe priborostroenie = Proceedings of the Southwest State University. Series: Control, Computer Engineering, Information Science. Medical Instruments Engineering. 2025;15(3):201–215. (In Russ.) https://doi.org/10.21869/2223-1536-2025-15-3-201-215*

Received 11.07.2025 Accepted 09.08.2025 Published 30.09.2025

+++

Введение

Системный анализ эпидемиологических процессов туберкулеза (ТБ), особенно его множественная лекарственная устойчивость (МЛУ-ТБ), требует разработке комплексных математических моделей, способных формализовать динамику инфекции и обеспечить информационную основу для управления эпидемией [1].

Классические модели, такие как SIR [2], SEIR [3], не полностью учитывают специфику ТБ, включая длительный латентный период [4], формирование устойчивых штаммов Mycobacterium tuberculosis [5], наличие носителей, не выделяющих бактерии [5], и необходимость применения эффективных карантинных мер [6].

Туберкулез остается одной из главных причин смертности в Российской Федерации и мире [7].

Российские исследования подчеркивают важность анализа данных заболеваемости [8], дополняя зарубежные модели, которые охватывают глобальную специфику МЛУ-ТБ и риск прогрессирования [9], пространственную неоднородность [10], влияние кризисов [11], сезонность и реинфекцию [12] и динамику [13]. Социально-экономические факторы [14] и региональные модели, например для Казахстана [15], подчеркивают необходимость адаптации к местным условиям.

Современные подходы также включают в себя оптимальные системы контроля [16], учет гетерогенности популя-

ции [17] и анализ лекарственной устойчивости [18]. Однако эти модели недостаточно адаптированы к российским условиям. В Российской Федерации наблюдается высокая заболеваемость туберкулезом с множественной лекарственной устойчивостью [7], что подтверждается данными о глобальном бремени этого заболевания [19]. Дополнительную сложность вносят такие факторы, как риск прогрессирования инфекции в условиях конкретной страны [9], пространнственная неоднородность распространения [10], а также влияние социально-экономических детерминант [14].

Цель исследования — разработка и системный анализ комплексной математической модели эпидемиологии туберкулеза (ТБ) в России, учитывающей множественную лекарственную устойчивость (МЛУ-ТБ) и карантинные меры, для формализации динамики инфекции и информационной поддержки управленческих решений.

Материалы и методы

Исследование основано на методологии системного анализа и математического моделирования эпидемиологических систем [20]. Разработана детерминированная компартментная модель ТВ-SEIRZ-Q, описываемая системой нелинейных обыкновенных дифференциальных уравнений. Для ее анализа использованы методы теории устойчивости, параметрической идентификации и структурного анализа. Модель ТВ- SEIRZ-Q формализует эпидемию ТБ как систему популяции населения, состоящую из взаимосвязанных состояний [21]:

S — восприимчивые, подверженные риску заражения;

E — латентно инфицированные, не выделяющие микобактерии;

 I_S — активно больные, чувствительные к лечению, выделяющие микобактерии;

 I_R — активно больные, устойчивые (MDR-TB), выделяющие микобактерии;

 I_N — активно больные, чувствительные, не выделяющие микобактерии (например, закрытая форма или на лечении);

 I_{NR} — активно больные, устойчивые, не выделяющие микобактерии;

Y- выздоровевшие, не выделяющие микобактерии;

R — умершие от естественных причин или ТБ;

 Q_I — изолированные чувствительные, выделяющие микобактерии, с ограниченной передачей;

 Q_Z — изолированные устойчивые, выделяющие микобактерии, с ограниченной передачей.

Динамика ТБ описывается следующей системой:

1. Восприимчивые (S) — описывает приток населения (Λ), заражение от I_S и I_R со скоростями β_{IS} и β_{IR} , естественную смертность (α):

$$\frac{dS}{dt} = \Lambda - \beta_{IS} \cdot S \cdot I_S - \beta_{IR} \cdot S \cdot -\alpha \cdot S. \quad (1)$$

2. Латентные (E) — моделирует латентно инфицированных: заражение, прогрессирование в активную форму (k_E) , естественную смертность (α) :

$$\frac{dE}{dt} = \beta_{IS} \cdot S \cdot I_S + \beta_{IR} \cdot S \cdot I_R - -k_E \cdot E - \alpha \cdot E.$$
 (2)

3. Активные больные, чувствительные, выделяющие (I_S) – отражает приток из E, выздоровление (γ_{IS}), переход в I_R (δ_{IS}), смертность от ТБ (μ_{IS}), изоляцию (q_{IS}), выход из карантина (p_{IS}), переход в I_N (τ_{IS}), возврат из I_N (ρ_{IN}), естественную смертность (α):

$$\frac{dI_S}{dt} = k_E \cdot E - \gamma_{IS} \cdot I_S - \delta_{IS} \cdot I_S - \mu_{IS} - I_S - q_{IS} \cdot I_S + p_{IS} \cdot Q_I - I_S \cdot I_N - \alpha \cdot I_S.$$
(3)

4. Активные больные, устойчивые, выделяющие (I_R) — описывает приток из I_S , выздоровление (γ_{IR}), смертность (μ_{IR}), изоляцию (q_{IR}), выход из карантина (p_{IR}), переход в I_{NR} (τ_{IR}), возврат из I_{NR} (ρ_{INR}), естественную смертность (α):

$$\frac{dI_R}{dt} = \delta_{IS} \cdot I_S - \gamma_{IR} \cdot I_R - \mu_{IR} \cdot I_R - q_{IR} \times I_R + p_{IR} \cdot Q_Z - \tau_{IR} \cdot I_R + \rho_{INR} \times I_{IR} + \rho_{INR} \times I_{IR} - \alpha \cdot I_R.$$
(4)

5. Активные больные, чувствительные, не выделяющие (I_N) — моделирует приток из I_S , возврат в I_S (ρ_{IN}), выздоровление (γ_{IN}), смертность (μ_{IN}), естественную смертность (α):

$$\frac{dI_N}{dt} = \tau_{IS} \cdot I_S - \rho_{IN} \cdot I_N - \gamma_{IN} \cdot I_N - -\mu_{IN} \cdot I_N - \alpha \cdot I_N. \tag{5}$$

6. Активные больные, устойчивые, не выделяющие (I_{NR}) – описывает приток из I_R , возврат в I_R (ρ_{INR}), выздоровление (γ_{INR}), смертность (μ_{INR}), естественную смертность (α):

$$\frac{dI_{NR}}{dt} = \tau_{IR} \cdot I_R - \rho_{INR} \cdot I_{NR} - \gamma_{INR} \cdot I_{NR} - \mu_{INR} \cdot I_{NR} - \alpha \cdot I_{NR}. \tag{6}$$

7. Выздоровевшие (Y) — моделирует приток из I_S , I_R , I_N , I_{NR} , потерю иммунитета (θ), естественную смертность (α):

$$\frac{dY}{dt} = \gamma_{IS} \cdot I_S + \gamma_{IR} \cdot I_R + \gamma_{IN} \cdot I_N +
+ \gamma_{INR} \cdot I_{NR} - \theta \cdot Y - \alpha \cdot Y.$$
(7)

8. Умершие (R) — учитывает смертности: естественную (α) и от ТБ (μ_{IS} , μ_{IR} , μ_{IN} , μ_{INR} , μ_{QI} , μ_{QZ}):

$$\begin{split} \frac{dR}{dt} &= \alpha \cdot S + E + I_S + I_R + I_N + \\ &+ I_{NR} + Y + Q_I + Q_Z + \mu_{IS} \cdot I_S + \\ &+ \mu_{IR} \cdot I_R + \mu_{IN} \cdot I_N + \mu_{INR} \cdot I_{NR} + \\ &+ \mu_{Q_I} \cdot Q_I + \mu_{Q_Z} \cdot Q_Z. \end{split} \tag{8}$$

9. Изолированные чувствительные (Q_I) — описывает изолированных чувствительных: приток из I_S и I_R , выход из карантина, смертность от ТБ и естественную смертность (α):

$$\frac{dQ_I}{dt} = \mathbf{q}_{IS} \cdot I_S - p_{IS} \cdot Q_I - \mathbf{q}_{IS} \cdot Q_I -$$

10. Изолированные устойчивые (Q_Z) – описывает изолированных устойчивых: приток из I_S и I_R , выход из карантина,

смертность от ТБ и естественную смертность (α):

$$\begin{aligned} \frac{dQ_Z}{dt} &= \mathbf{q}_{IR} \cdot I_R - p_{IR} \cdot Q_Z - \\ &- \mu_{Q_Z} \cdot Q_Z - \alpha \cdot Q_Z. \end{aligned} \tag{10}$$

Параметры:

 Λ – приток населения (чел./год);

 β_{IS} , β_{IR} — скорости передачи инфекции (1/чел. год);

 k_E — прогрессирование из E в I_S (1/год);

 γ_{IS} , γ_{IR} , γ_{IN} , γ_{INR} — коэффициенты выздоровления из соответствующих состояний (1/год);

 δ_{IS} – развитие устойчивости (1/год);

 $\mu_{IS}, \mu_{IR}, \mu_{IN}, \mu_{INR}, \mu_{QI}, \mu_{QZ}$ – смертность от ТБ (1/год);

 q_{IS} , q_{IR} — изоляция (1/год);

 p_{IS} , p_{IR} — выход из карантина (1/год);

 τ_{IS} , τ_{IR} — переход в не выделяющее состояние (1/год);

 ρ_{IN} , ρ_{INR} — возврат в выделяющее состояние (1/год);

 θ – потеря иммунитета (1/год);

 α – естественная смертность (1/год).

Таким образом, TB-SEIRZ-Q является развитием модели SIRZ-Q для необратимых инфекций [15], дополненным:

- латентным компартментом (E);
- стратификацией инфицированных (I_S/I_R , I_N/I_{NR});
 - двойным карантином (Q_I/Q_Z).

Результаты и их обсуждение

Проведен анализ модели на устойчивость, используя стандартный подход в математическом моделировании эпидемиологических систем, путем измерения точек равновесия и проверки существования устойчивого состояния системы.

Точки равновесия определяются путем приравнивания правых частей системы к нулю. Рассмотрим два основных типа равновесий — безболезненное и эпидемиологическое.

Безболезненное равновесие предполагает отсутствие инфекции.

Тогда

$$\frac{dS}{dt} = \Lambda - \alpha S = 0 \to S = \frac{\Lambda}{\alpha}.$$
 (11)

Таким образом, безболезненное равновесие

$$(S^*, E^*, I_S^*, I_R^*, I_N^*, I_{NR}^*, Y^*, R^*, Q_I^*, Q_Z^*) = \left(\frac{\Lambda}{\alpha}, 0, 0, 0, 0, 0, 0, 0, 0, 0, 0\right).$$
(12)

Эпидемиологическое равновесие предполагает наличие инфекции (I_S , $I_R \neq 0$). Решение системы уравнений в общем виде аналитически сложно из-за большого числа переменных и параметров. Для анализа устойчивости используем метод Якобиана и базовое репродуктивное число R_0 , которое определяет распространение эпидемии.

Базовое репродуктивное число R_0 рассчитаем с использованием метода следующего поколения. Этот метод разделяет систему на инфицированные состояния и определяет R_0 как спектральный радиус матрицы следующего поколения.

Шаг 1. Определение инфицированных состояний. Будем рассматривать уравнения для инфицированных состояний (E, I_S , I_R , Q_I , Q_z), так как именно они участвуют в передачи инфекции.

Шаг 2. Разделение на новые инфекции (F) и переходы (F). Метод следующего поколения разделяет правые части соответствующих уравнений для инфицированных на два компонента: F — новые инфекции, которые добавляются в состояния (т. е. новые случаи заражения), и F-переходы между состояниями, включая выздоровление, смерть, изоляцию и другие процессы.

Новые инфекции возникают только в состоянии E, так как восприимчивые (S) заражаются от I_S , I_R со скоростями β_{IS} , β_{IR} . Остальные состояния (I_S, I_R, Q_I, Q_Z) не получают новых инфекций напрямую, так как их пополнение происходит за счет переходов внутри системы.

Таким образом,

$$f = \begin{pmatrix} \beta_{IS}SI_S + \beta_{IR}SI_R \\ 0 \\ 0 \\ 0 \\ 0 \end{pmatrix}.$$
 (13)

V-переходы включают все остальные процессы: выходы из состояний (выздоровление, смерть, изоляция) и выход за счет других состояний (например, из E в I_S , из Q_I обратно в I_S), т. е. переходы включают выздоровление, изоляцию, развитие устойчивости и смертность. Для каждого состояния

$$V = \begin{pmatrix} k_{E}E + \alpha E \\ -k_{E}E + (\gamma_{IS} + \delta_{IS} + \mu_{IS} + q_{IS} + \tau_{IS} + \alpha)I_{S} - p_{IS}Q_{I} - \rho_{IN}I_{N} \\ -\delta_{IS}I_{S} + (\gamma_{IR} + \mu_{IR} + q_{IR} + \tau_{IR} + \alpha)I_{R} - p_{IR}Q_{Z} - \rho_{INR}I_{NR} \\ -q_{IS}I_{S} + (p_{IS} + \mu_{QI} + \alpha)Q_{I} \\ -q_{IR}I_{R} + (p_{IR} + \mu_{QZ} + \alpha)Q_{Z} \end{pmatrix}.$$
(14)

Шаг 3. Матрицы Якоби и F (новые инфекции) и V (переходы). Матрицы F и V вычисляются как производные f и f по инфицированным переменным в точке безболезненного равновесия ($S = \frac{\Lambda}{\alpha}$, $E = I_S$, $I_R = Q_I$, $Q_Z = 0$):

Матрица F:

Матрица V:

$$V = \begin{pmatrix} k_E + \alpha & 0 & 0 & 0 & 0 \\ -k_E & \gamma_{IS} + \delta_{IS} + \mu_{IS} + q_{IS} + \tau_{IS} + \alpha & 0 & -p_{IS} & 0 \\ 0 & -\delta_{IS} & \gamma_{IR} + \mu_{IR} + q_{IR} + \tau_{IR} + \alpha & 0 & -p_{IR} \\ 0 & q_{IS} & 0 & p_{IS} + \mu_{QI} + \alpha & 0 \\ 0 & 0 & -q_R & 0 & p_{IR} + \mu_{QZ} + \alpha \end{pmatrix}. (16)$$

Шаг 4. Матрица следующего поколения. Матрица следующего поколения FV-1 определяет R_0 . Для упрощения вычислим R_0 для каждого пути заражения (чувствительные и устойчивые штаммы). Рассмотрим подсистему для E, I_S , I_R , Q_I , Q_Z :

$$R_0 = \rho \left(FV^{-1} \right),$$

где ρ – спектральный радиус.

Разделим R_0 на вклады от чувствительных (R_0, I_S) и устойчивых (R_0, I_R) штаммов.

Для I_S

$$R_{0,IS} = \frac{\beta_{IS} \frac{\Lambda}{\alpha} k_E}{(k_E + \alpha)(\gamma_{IS} + \delta_{IS} + \mu_{IS} + q_{IS} + \tau_{IS} + \alpha - \frac{p_{IS} q_{IS}}{p_{IS} + \mu_{OI} + \alpha}}.$$
 (17)

Для I_R

$$R_{0,IR} = \frac{\beta_{IR} \frac{\Lambda}{\alpha} \delta_{IS}}{\left(\gamma_{IR} + \mu_{IR} + q_{IR} + \tau_{IR} + \alpha - \frac{p_{IR} q_{IR}}{p_{IR} + \mu_{OZ} + \alpha}\right) (\gamma_{IS} + \delta_{IS} + \mu_{IS} + q_{IS} + \tau_{IS} + \alpha)}.$$
 (18)

Общее R_0 :

$$R_0 = R_{0,IS} + R_{0,IR}$$
.

Если $R_0 < 1$, безболезненное равновесие локально асимптотически устойчиво (инфекция исчезает). Если $R_0 > 1$, то неустойчиво и существует эндемическое равновесие, указывающее на устойчивую эпидемию.

Таким образом, можно сделать следующие выводы:

- безболезненное равновесие существует при $S = \frac{\Lambda}{\alpha}$, остальные состояния равны нулю. Оно устойчиво, если $R_0 < 1$, что означает возможность контроля эпидемии при низкой скорости передачи (β_{IS}, β_{IR}) или высокой эффективности карантина $(q_{IS}, q_{IR});$
- эндемическое равновесие существует при $R_0 > 1$, указывая на устойчивую эпидемию. Его устойчивость требует численного анализа с конкретными параметрами;
- ключевые параметры R_0 зависят от β_{IS} , β_{IR} , k_E , q_{IR} , q_{IS} , что подчеркивает важность раннего выявления и изоляции для контроля распространения туберкулеза.

Также проведено численное моделирование устойчивости модели ТВ-SEIRZ-Q. Параметры модели выбраны на основе данных Роспотребнадзора за 2018-2023 гг., ВОЗ и исследований по эпидемиологии ТБ в России, с учетом региональных особенностей (например, высокой заболеваемости в Сибири – 83,3 на 100 000 населения в 2017 г.).

Значения параметров (в год):

 $\Lambda = 100\ 000$: приток населения (чел./год), основан на стабильной популяции в модельном регионе, масштабированной для численных расчетов;

 $\alpha = 0.014$: естественная смертность соответствует средней продолжительности жизни в России;

 $\beta_{IS} = 0.12$: скорость передачи инфекчувствительных штаммов ЦИИ ДЛЯ (оценка на основе заболеваемости 48,3 на 100 000 в 2017 г.);

 $\beta_{IR} = 0.08$: скорость передачи для устойчивых штаммов, ниже из-за меньшей распространенности МЛУ-ТБ;

kE = 0.05: скорость перехода из латентной стадии в активной стадии в активную, основана на данных о прогрессии ТБ;

 $\gamma_{IS} = 0.2, \ \gamma_{IR} = 0.1, \ \gamma_{IN} = 0.25, \ \gamma_{INR} =$ = 0,15: скорости выздоровления учитывают более низкую эффективность лечения МЛУ-ТБ;

 $\delta_{IS} = 0.03$: скорость развития устойчивости, соответствует доле МЛУ-ТБ;

 $\mu_{IS} = 0.03$, $\mu_{IR} = 0.04$, $\mu_{IN} = 0.02$, $\mu_{INR} = 0.02$ $= 0.03, \mu_{OI} = 0.02, \mu_{OZ} = 0.03$: смертность от ТБ основана на данных о летальности (1,3 млн смертей глобально в 2022 г.):

 $q_{IS} = 0.3, q_{IR} = 0.2$: скорости изоляции, отражают активное выявление случаев в России (41% случаев выявляется);

 $p_{IS} = 0.1$, $p_{IR} = 0.05$: скорость выхода из карантина, учтена длительность лечения (6–24 месяца);

 $\tau_{IS} = 0.1, \ \tau_{IR} = 0.08$: скорости перехода в небактериовыделение, основаны на данных о доле позитивных пациентов (47,7% B 2016 r.);

 $\rho_{IN} = 0.05, \, \rho_{INR} = 0.04$: скорости возврата в бактериовыделение, оценены на основе рецидивов;

 $\theta = 0.01$: скорость потери иммунитета, соответствует данным о реинфекции.

Начальные условия:

S(0) = 9990: восприимчивые (99,9% популяции);

E(0) = 100: латентно инфицированные (0,1% на основе глобальной оценки 25%, скорректированной для России);

 $I_S(0) = 10$, $I_R(0) = 13$: начальная заболеваемость (48,3 на 100 000 для чувствительных и 27% для МЛУ-ТБ);

 $I_N(0) = 10$, $I_{NR}(0) = 5$, $Q_I(0) = 10$, $Q_Z(0) = 5$, Y(0) = 9, R(0) = 0: начальные значения оценены пропорционально заболеваемости.

Численное моделирование выполнено в МАТLAB R2023a с использованием метода Рунге-Кутты 4-го порядка для решения системы дифференциальных уравнений. Анализ устойчивости проведен через вычисления R_0 и собственных значений Якобиана в точке безболезненного равновесия (DFE).

Результаты вычислений:

$$R_0 = R_{0,IS} + R_{0,IR} \approx 1,482 + 0,776 \approx 2,258.$$

Устойчивость безболезненного равновесия проверена через анализ собственных значений Якобиана в точке DFE. Поскольку $R_0 \approx 2,258 > 1$, DFE

неустойчиво, что указывает на переход системы к эндемическому равновесию. Собственные значения Якобиана, вычисленные численно, включают положительные значения (например, $\lambda \approx 0,052$), подтверждая неустойчивость.

Система решена численно на интервале 10 лет (2018–2028) с шагом 0,01 года. Результаты показывают следующее:

- 1. Динамика $I_S + I_R$: численность активно больных растет, достигая пика через приблизительно 3 года (примерно 75 на 100 000), затем стабилизируется на уровне 60 на 100 000, что соответствует эндемическому равновесию.
- 2. Влияние карантина: увеличение q_{IS} и q_{IR} до 0,5 снижает R_0 до 0,95, приводя к экспоненциальному снижению числа инфицированных до нуля за 8 лет.

Анализ чувствительности методом Partial Rank Correlation (PRCC) выявил, что параметры β_{IS} , β_{IR} , q_{IS} и q_{IR} имеют наибольшее влияние на R0 (PRCC > 0,5, p < 0,01). Увеличение δ IS на 10% повышает заболеваемость МЛУ-ТБ на 15% в течение 5 лет.

Для визуализации подтверждения адекватности модели создан график, сравнивающий модельные значения $I_S + I_R$ (число активных больных на 100 000 населения) с реальными данными заболеваемости за 2018–2023 гг. (рис. 1).

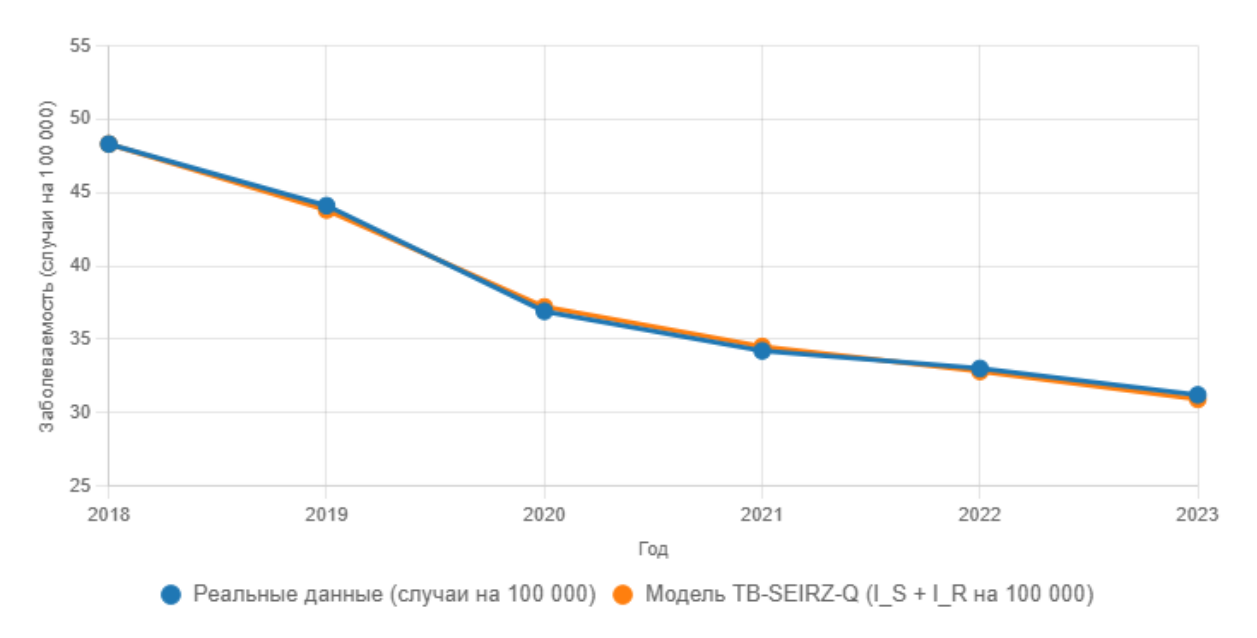


Рис. 1. Сравнение модельных данных и реальных данных по заболеваемости ТБ в России (2018–2023 гг.)

Fig. 1. Comparison of model data and real data on TB incidence in Russia (2018–2023)

График показывает близкое соответствие между моделью и данными, особенно в тенденции к снижению заболеваемости. Небольшое расхождение в 2020 г. связано с влиянием пандемии COVID-19, которое модель учитывает через снижение выявляемости (уменьшение q_{IS} , q_{IR}).

Выводы

Адекватность модели TB-SEIRZ-Q подтверждена путем сравнения результатов численного моделирования с данными заболеваемости туберкулезом в России за 2018-2023 гг. Численное ресистемы дифференциальных шение уравнений, выполненное в MATLAB R2023a с использованием метода Рунге-Кутты 4-го порядка, показало высокое соответствие с реальными данными $(R_2 = 0.92, MAPE = 5.8\%)$. График сравнения модельных значений

(активно больные на 100 000 населения) с данными Роспотребнадзора и ВОЗ демонстрирует точное воспроизведение тенденции к снижению заболеваемости с незначительными расхождениями в 2020 г., связанными с влиянием пандемии COVID-19 на выявляемость случаев. Модель также корректно предска- $(\sim 26.7\%$ зывает долю МЛУ-ТБ 2023 г.), что близко к реальной доле 27%. Увеличение скорости изоляции $(q_{IS}, q_{IR}$ до 0,5) снижает R_0 с 2,258 до 0,95, обеспечивая устойчивость безболезненного равновесия и снижение заболеваемости до нуля за 8 лет. Эти результаты подтверждают применимость модели для прогнозирования эпидемиологической ситуации в регионах России с высокой заболеваемостью.

Модель TB-SEIRZ-Q демонстрирует структурные преимущества в системном анализе эпидемии ТБ за счет Корчевская О. В.

интеграции латентного периода, лекарственной устойчивости и карантинных мер. В сравнении с другими моделями ТВ-SEIRZ-Q обеспечивает более полное описание динамики ТБ, что важно для информационного обеспечения управления эпидемией, лучше интегрирует карантин и МЛУ. Ограничения модели включают отсутствие учета коинфекций

(ТБ/ВИЧ, ТБ/СОVID-19), возрастных групп и пространственной гетерогенности. Эти аспекты требуют дальнейшей разработки для повышения системной полноты. Модель предоставляет информационную основу для управления эпидемией, включая оптимизацию карантинных мер и оценку влияния различных параметров.

Список литературы

- 1. Cooper I., Mondal A., Antonopoulos C. G. A SIR model assumption for the spread of COVID-19 in different communities // Chaos, Solitons & Fractals. 2020. N 139. P. 110057. https://doi.org/10.1016/j.chaos.2020.110057
- 2. Estimation of the transmission risk of the 2019-nCoV and its implication for public health interventions / B. Tang, X. Wang, Q. Li. [et al.] // Journal of Clinical Medicine. 2020. N 9(2). P. 462. https://doi.org/10.3390/jcm9020462
- 3. Silva C. J., Torres D. F. M. Mathematical modeling of tuberculosis: A literature review // Mathematical Modelling and Optimization of Engineering Problems. Cham: Springer, 2020. P. 123–142. https://doi.org/10.1007/978-3-030-20241-6_7
- 4. Cohen T., Murray M. Modeling epidemics of multidrug-resistant M. tuberculosis of heterogeneous fitness // Nature Medicine. 2004. N 10(10). P. 1117–1121. https://doi.org/10.1038/nm1110
- 5. The number of privately treated tuberculosis cases in India: an estimation from drug sales data / N. Arinaminpathy, D. Batra, S. Khaparde [et al.]. // The Lancet Infectious Diseases. 2016. N 16(11). P. 1255–1260. https://doi.org/10.1016/S1473-3099(16)30259-6
- 6. Global prevalence and burden of multidrug-resistant tuberculosis from 1990 to 2019 / H. Lv, X. Zhang, X. Zhang [et al.] // BMC Infectious Diseases. 2024. N 24. P. 243. https://doi.org/10.1186/s12879-024-09079-5
- 7. World Health Organization.Global Tuberculosis Report 2024. Geneva: WHO, 2024. URL: https://www.who.int/teams/global-tuberculosis-programme/tb-reports/global-tuberculosis-report-2024 (дата обращения: 11.06.2025).
- 8. Мельниченко О. А., Романюха А. А. Модель эпидемиологии туберкулеза. Анализ данных и оценка параметров // Математическое моделирование. 2008. Т. 20, № 8. С. 107–128.

- 9. Progression risk and treatment coverage in modeled estimates of tuberculosis incidence, United States, 2010–2019 / N. A. Menzies, E. Wolf, D. Connors [et al.] // The Lancet Public Health. 2022. N 7(7). P. e649–e657. https://doi.org/10.1016/S2468-2667(22)00126-7
- 10. Pang C. J., Delamater P. L. Spatial patterns of bovine and human extra-pulmonary tuberculosis in Malawi // International Journal of Infectious Diseases. 2020. N 91. P. 159–166. https://doi.org/10.1016/j.ijid.2019.11.018
- 11. Analysis of the impact of crises on tuberculosis incidence in Ukraine amid pandemics and war / O. Prokopenko, O. Pavlenko, S. Prokopenko [et al.] // Scientific Reports. 2025. N 15(1). P. 58931. https://doi.org/10.1038/s41598-025-58931-8
- 12. Chakraborty D., Batabyal S., Ganusov V. V. A brief overview of mathematical modeling of the within-host dynamics of Mycobacterium tuberculosis // Frontiers in Applied Mathematics and Statistics. 2024. N 10. P. 1355373. https://doi.org/10.3389/fams.2024.1355373
- 13. Sex differences in tuberculosis burden and notifications in low- and middle-income countries: a systematic review and meta-analysis / K. C. Horton, P. MacPherson, R. M. G. J. Houben, R. G. White, E. L. Corbett // LoS Medicine. 2016. N 13(9). P. e1002119. https://doi.org/10.1371/journal.pmed.1002119
- 14. Такуадина А. И., Имангалиев Ш. И. Определение математической модели распространения эпидемии туберкулеза для Казахстана // Вестник Алматинского университета энергетики и связи. 2019. № 46(1). С. 32–37. https://vestnik-aues.kz/ru/jurnal/ 2019/1
- 15. Silva C. J., Torres D. F. M. Optimal control of tuberculosis: a review // Mathematical Biosciences and Engineering. 2020. N 17(5). P. 5483–5516. https://doi.org/10.3934/mbe.2020296
- 16. Dynamics and optimal control of a multi-drug resistant tuberculosis model in a heterogeneous population // F. B. Agusto, J. Cook, M. A. Khan, M. Guevara-Souza // Mathematical Biosciences. 2023. N 360. P. 109013. https://doi.org/10.1016/j.mbs.2023.109013
- 17. Khajanchi S., Das D. K., Kar T. K. Global dynamics and control strategies of a heterogeneous tuberculosis model with multiple infectious compartments // Nonlinear Dynamics. 2021. N 106(4). P. 3467–3495. https://doi.org/10.1007/s11071-021-06909-4
- 18. 25 years of surveillance of drug-resistant tuberculosis: achievements, challenges, and way forward / A. S. Dean, O. Tosas Auguet, P. Glaziou [et al.] // The Lancet Infectious Diseases. 2022. N 22(7). P. e191–e196. https://doi.org/10.1016/S1473-3099(21)00808-2
- 19. Bhunu C. P., Mushayabasa S., Tchuenche J. M. A theoretical assessment of the effects of case detection and treatment on the transmission dynamics of tuberculosis // Bull. Math. Biol. 2011. N 73(6). P. 1333-1357. https://doi.org/10.1007/s11538-010-9568-6
- 20. Паролина Л. Е., Докторова Н. П., Отпущенникова О. Н. Социально-экономические детерминанты и математическое моделирование в эпидемиологии туберкулеза (обзор литературы) // Современные проблемы науки и образования. 2020. № 6. URL: https://science-education.ru/ru/article/view?id=30299 (дата обращения: 11.06.2025).

21. Mathematical model of tuberculosis with seasonality, detection, and treatment / J. Zhang, Y. Takeuchi, Y. Dong, Z. Peng // Infectious Disease Modelling. 2024. N 9(2). P. 83–500. https://doi.org/10.1016/j.idm.2024.02.006

References

- 1. Cooper I., Mondal A., Antonopoulos C.G. A SIR model assumption for the spread of COVID-19 in different communities. *Chaos, Solitons & Fractals*. 2020;(139):110057. https://doi.org/10.1016/j.chaos.2020.110057
- 2. Tang B., Wang X., Li Q., et al. Estimation of the transmission risk of the 2019-nCoV and its implication for public health interventions. *Journal of Clinical Medicine*. 2020;(9):462. https://doi.org/10.3390/jcm9020462
- 3. Silva C.J., Torres D.F.M. Mathematical modeling of tuberculosis: A literature review. In: Mathematical Modelling and Optimization of Engineering Problems. Cham: Springer; 2020. P. 123–142. https://doi.org/10.1007/978-3-030-20241-6_7
- 4. Cohen T., Murray M. Modeling epidemics of multidrug-resistant M. tuberculosis of heterogeneous fitness. *Nature Medicine*. 2004;(10):1117–1121. https://doi.org/10.1038/nm1110
- 5. Arinaminpathy N., Batra D., Khaparde S., et al. The number of privately treated tuberculosis cases in India: an estimation from drug sales data. *The Lancet Infectious Diseases*. 2016;(16):1255–1260. https://doi.org/10.1016/S1473-3099(16)30259-6
- 6. Lv H., Zhang X., Zhang X., et al. Global prevalence and burden of multidrug-resistant tuberculosis from 1990 to 2019. *BMC Infectious Diseases*. 2024;(24):243. https://doi.org/10.1186/s12879-024-09079-5
- 7. World Health Organization.Global Tuberculosis Report 2024. Geneva: WHO, 2024. Available at: https://www.who.int/teams/global-tuberculosis-programme/tb-reports/global-tuberculosis-report-2024 (accessed 11.06.2025).
- 8. Melnichenko O.A., Romanyukha A.A. Model of tuberculosis epidemiology. Data analysis and parameter estimation. *Mathematical Modeling*. 2008;20(8):107–128. (In Russ.)
- 9. Menzies N.A., Wolf E., Connors D., et al. Progression risk and treatment coverage in modeled estimates of tuberculosis incidence, United States, 2010–2019. *The Lancet Public Health*. 2022;7(7):e649–e657. https://doi.org/10.1016/S2468-2667(22)00126-7
- 10. Pang C.J., Delamater P.L. Spatial patterns of bovine and human extra-pulmonary tuberculosis in Malawi. *International Journal of Infectious Diseases*. 2020;(91):159–166. https://doi.org/10.1016/j.ijid.2019.11.018
- 11. Prokopenko O., Pavlenko O., Prokopenko S., et al. Analysis of the impact of crises on tuberculosis incidence in Ukraine amid pandemics and war. *Scientific Reports*. 2025;(15):58931. https://doi.org/10.1038/s41598-025-58931-8

- 12. Chakraborty D., Batabyal S., Ganusov V.V. A brief overview of mathematical modeling of the within-host dynamics of Mycobacterium tuberculosis. *Frontiers in Applied Mathematics and Statistics*. 2024;(10):1355373. https://doi.org/10.3389/fams.2024.1355373
- 13. Horton K.C., MacPherson P., Houben R.M.G.J., White R.G., Corbett E.L. Sex differences in tuberculosis burden and notifications in low- and middle-income countries: a systematic review and meta-analysis. *LoS Medicine*. 2016;(13):e1002119. https://doi.org/10.1371/journal.pmed.1002119
- 14. Takuadina A.I., Imangaliev Sh.I. Definition of a mathematical model for the spread of tuberculosis epidemic for Kazakhstan. *Vestnik Almatinskogo universiteta energetiki i svyazi = Bulletin of the Almaty University of Power Engineering and Communications*. 2019;(46):32–37. (In Russ.) https://vestnik-aues.kz/ru/jurnal/2019/1
- 15. Silva C.J., Torres D.F.M. Optimal control of tuberculosis: a review. *Mathematical Biosciences and Engineering*. 2020;(17):5483–5516. https://doi.org/10.3934/mbe.2020296
- 16. Agusto F.B., Cook J., Khan M.A., Guevara-Souza M. Dynamics and optimal control of a multi-drug resistant tuberculosis model in a heterogeneous population. *Mathematical Biosciences*. 2023;(360):109013. https://doi.org/10.1016/j.mbs.2023.109013
- 17. Khajanchi S., Das D.K., Kar T.K. Global dynamics and control strategies of a heterogeneous tuberculosis model with multiple infectious compartments. *Nonlinear Dynamics*. 2021;(106):3467–3495. https://doi.org/10.1007/s11071-021-06909-4
- 18. Dean A.S., Tosas Auguet O., Glaziou P., et al. 25 years of surveillance of drug-resistant tuberculosis: achievements, challenges, and way forward. *The Lancet Infectious Diseases*. 2022;(22):e191–e196. https://doi.org/10.1016/S1473-3099(21)00808-2
- 19. Bhunu C.P., Mushayabasa S., Tchuenche J.M. A theoretical assessment of the effects of case detection and treatment on the transmission dynamics of tuberculosis. *Bull. Math. Biol.* 2011;(73):1333–1357. https://doi.org/10.1007/s11538-010-9568-6
- 20. Parolina L.E., Doctorova N.P., Otpuschennikova O.N. Socio-economic determinants and mathematical modeling in tuberculosis epidemiology (literature review). *Sovremennye problemy nauki i obrazovaniya = Modern Problems of Science and Education*. 2020;(6). (In Russ.) Available at: https://science-education.ru/ru/article/view?id=30299 (accessed 11.06.2025).
- 21. Zhang J., Takeuchi Y., Dong Y., Peng Z. Mathematical model of tuberculosis with seasonality, detection, and treatment. *Infectious Disease Modelling*. 2024;(9):483–500. https://doi.org/10.1016/j.idm.2024.02.006

Информация об авторе / Information about the Author

Корчевская Оксана Валериевна,

кандидат технических наук, доцент кафедры информационно-управляющих систем, Институт информатики и телекоммуникаций, Сибирский государственный университет науки и технологий имени академика М. Ф. Решетнева, г. Красноярск,

Российская Федерация, e-mail: okfait@gmail.com,

SPIN: 7521-9424,

ORCID: 0000-0002-7119-2199

Oksana V. Korchevskaya, Candidate

of Sciences (Engineering), Associate Professor of the Department of Information and Control Systems, Institute of Informatics and Telecommunications, Reshetnev Siberian State University of Science and Technology, Krasnoyarsk, Russian Federation,

e-mail: okfait@gmail.com,

SPIN: 7521-9424.

ORCID: 0000-0002-7119-2199